

مجله علوم و صنایع غذایی ایران



سایت مجله: www.fsct.modares.ac.ir

مقاله علمی-پژوهشی

استفاده از نانولوله های کربنی چند جداره به عنوان جاذب برای استخراج فلاونوئیدها از پوست گریپ فروت

حسن قلی زاده^{۱*}، دیوید جولیان مک کلمنت^۲، حسن طاهر منصوری^۳، ویحای جایاسنا^۱، احمد شهیدی^۱

۱- گروه علوم و صنایع غذایی، واحد آیت الله آملی، دانشگاه آزاد اسلامی، آمل، مازندران، ایران

۲- گروه علوم و صنایع غذایی، دانشگاه ماساچوست، آمهرست، MA 01003

۳- گروه شیمی، واحد آیت الله آملی، دانشگاه آزاد اسلامی، آمل، مازندران، ایران

۴- دانشکده بهداشت عمومی، موسسه تحقیقات نوآوری سلامت کرتین، دانشگاه کرتین، GPO U1987، پرت ۸۴۵، استرالیای غربی، استرالیا.

اطلاعات مقاله	چکیده
تاریخ های مقاله:	این مطالعه نانولوله های کربنی چند جداره کربوکسیله (MWCNTs-COOH) را به عنوان
تاریخ دریافت:	جاذب برای استخراج فلاونوئیدها از پوست گریپ فروت مورد استفاده قرار داد. تاثیر pH محلول و شرایط دفع بر راندمان استخراج مورد بررسی قرار گرفت. علاوه بر این، طیف‌سنجی فروسرخ تبدیل فوریه، گرم‌سنجی حرارتی، طیف‌سنجی مرئی UV، و میکروسکوپ الکترونی روبشی برای مشخص کردن نانولوله‌های کربنی استفاده شد. پس از پنج چرخه، درصد دفع فلاونوئیدها ۸۲.۷٪ بود. نتایج HPLC نشان داد که نارینگین فلاونوئید غالب در عصاره گریپ فروت و به دنبال آن روتین و کوئرستین بود. نتایجی در مورد مکانیسم جذب نارینگین به MWCNT-COOH با استفاده از معادله ایزوترم فرون‌دلیخ برای مدل سازی نتایج به دست آمد. نانولوله‌های کربنی توسعه یافته در این مطالعه، یک روش مقرر به صرفه و ساده برای استخراج ترکیبات کاربردی با ارزش افزوده از ضایعات مواد غذایی ارائه می‌کنند و در نتیجه پایداری و دوام اقتصادی عرضه مواد غذایی را بهبود می‌بخشند.
تاریخ پذیرش:	کلمات کلیدی:
۱۴۰۲/۱۲/۱۷	گریپ فروت؛
۱۴۰۳/۱/۲۷	نانولوله های کربنی چند جداره؛
	فلاونوئیدها؛
	جذب؛
	دفع؛
	ضایعات مواد غذایی

DOI:10.22034/FSCT.21.152.146.

*مسئول مکاتبات:
hassangholizade@ymail.com

۱. مقدمه

فازهای ثابت را می‌توان به طور قابل ملاحظه‌ای در زمینه کروماتوگرافی یافت، از جمله کروماتوگرافی گازی (GC)، الکتروکروماتوگرافی مویرگی (CEC)، کروماتوگرافی مایع (LC)، و کروماتوگرافی مایع با کارابی بالا (HPLC) (۱۵). نانولوله‌های کربنی (CNTs) به دلیل مساحت سطح بالا و برهمنکش‌های ترجیحی قوی، که منجر به جداسازی سریع، قوی و انتخابی مواد در مخلوط‌های پیچیده می‌شود، به عنوان مواد جاذب مؤثر شناخته شده‌اند (۱۶). هدف اصلی این مطالعه تعیین پتانسیل استفاده از نانولوله‌های کربنی چند جداره کربوکسیله (MWCNT-COOH) برای استخراج فلاونوئیدها از پوست گریپ فروت بود.

۲. مواد و روشها

۲.۱. تهیه عصاره پوست گریپ فروت

عصاره پوست گریپ فروت با استفاده از روش قلی زاده و همکاران تهیه شد (۲۰۱۹) (۱۵). به طور خلاصه، گریپ فروت‌های صورتی (*Citrus Paradisi*) با وزن متوسط جمع آوری شد، با آب شسته شد و پوست آن به صورت دستی جدا شد. سپس پوست‌ها در یک آون خلاء در دمای ۴۰ درجه سانتیگراد به مدت ۴۸ ساعت خشک شدند. پوست‌های خشک شده با استفاده از آسیاب چکشی (GPP) (Molinex) برای تشکیل پودر پوست گریپ فروت آسیاب شدند، بسته بندی شدند و در یک ظرف در بسته در دمای ۴ درجه سانتیگراد نگهداری شدند.

در یک حمام اولتراسونیک (ROHS- Korea)، پنج گرم GPP در ۳۰ میلی لیتر از مخلوط اتانول-آب (V/V: ۳۰:۷۰) در ارلن مایر به مدت ۳۰ دقیقه در دمای ۲۵ درجه سانتی گراد پراکنده شد. سوسپانسیون با فیلتراسیون خلاء فیلتر شد و پودر باقیمانده دو بار با استفاده از ۲۵ میلی لیتر مخلوط اتانول-آب (V/V: ۳۰:۷۰) استخراج شد. پس از آن، عصاره در یک فلاسک حجمی (۱۰۰ میلی لیتر) قرار داده شد و

مرکبات، مانند پرتقال، لیمو و گریپ فروت، منابع خوبی از آنتی اکسیدان‌ها و مواد مغذی طبیعی از جمله اسید اسکوربیک، فلاونوئیدها و ترکیبات فنلی هستند (۱، ۲). هنگام تولید آب مرکبات، مانند آب گریپ فروت، ضایعات زیادی تولید می‌شود (۳). در نتیجه، علاقه‌ای به تبدیل این مواد زائد به مواد غذایی با ارزش برای افزایش دوام اقتصادی، کاهش اثرات زیست محیطی و تضمین پایداری صنایع غذایی وجود دارد. پوست مرکبات حاوی فلاونوئیدهای نسبتاً بالایی است که به عنوان آنتی اکسیدان‌های طبیعی و مواد مغذی ارزشمند هستند (۴) گریپ فروت اخیراً به دلیل فعالیت‌های بیولوژیکی مفیدش توجه قابل توجهی را به خود جلب کرده است (۵). پوست گریپ فروت حاوی گلیکوزیدهای فلاوانون بیواکتیو نسبتاً بالایی مانند نارینجین و ناریروتین است (۶). نارینجین خواص ضد زخم، ضد التهابی، مهار کننده سوپراکسید و آنتی اکسیدان از خود نشان داده است (۷، ۸).

چندین روش برای استخراج فلاونوئیدها از پوست مرکبات، از جمله فراصوت (۹)، حلال‌های یوتکنیک (۱۰)، رزین‌ها (۱۱)، مایعات فوق بحرانی (۱۲) و روش‌های جذب (۱۳) استفاده شده است. روش‌های جذب مقرن به صرفه و آسان برای پیاده سازی هستند زیرا به تجهیزات پیچیده یا عملیات پردازش تجاری نیاز ندارند. نانومواد به عنوان جاذب در شاخه‌های مختلف برای شناخت کمی و کیفی کمپلکس‌های متعدد، مانند تشخیص فلاونوئیدها (۱۴، ۱۵)، قارچ‌ها (۱۶)، پروتئین‌ها و داروها (۱۷)، آفت‌کش‌ها (۱۸)، رنگ‌های سمی (۱۹)، فلزات سمی (۲۰) و غیره مورد استفاده قرار گرفته‌اند. همچنین، نانومواد مختلفی مانند نانومواد مبتنی بر سیلیکون و کربن، اکسیدهای فلزی و فلزی و نانوکامپوزیت‌های مبتنی بر پلیمر برای استخراج و پیش تغلیظ گونه‌های شیمیایی قبل از تعیین با روش‌های مختلف تحلیلی استفاده شده‌اند (۱۷). تکنیک‌ها، کاربردهای بالقوه نانومواد کربنی به عنوان

تغییر در خواص شیمیایی جاذب یا جاذب جلوگیری شود. عصاره با pH 3، 5، 7 یا ۹ بسته به تیمار، و سپس به مدت یک ساعت هم بزینید. فلاونوئیدها توسط سانتریفیوز فیلتر شده و با استفاده از کروماتوگرافی مایع با کارایی بالا (HPLC) اندازه گیری شدند. ابزار (Agilent Technologies 1200) مجهر به یک سیستم تحويل حلال چهارتایی با نمونه بر خودکار، یک ستون جداکننده (ستون 18 Zorbax SB-C18، Agilent UV ۱۰۰×۴.۶ میلی‌متر، اندازه ذرات پنج میکرومتر) و یک آشکارساز (B) اجزای فاز متحرک متانول (A) و ۱٪ اسید استیک (B) بودند. پروتکل جداسازی در جدول ۱ توضیح داده شده است. زمان تعادل مجدد بین اجراهای روی ۱۰ دقیقه تنظیم شد. آزمایش‌ها در دمای ۳۰ درجه سانتی‌گراد (دمای اجاق ستونی) با سرعت جریان ۰.۶ میلی‌لیتر بر دقیقه و حجم تزریق ۵ میکرولیتر انجام شد. پیک‌های کروماتوگرافی با مقایسه زمان ماند آنها با نمونه‌های استاندارد شناخته شده (روتین، نارینجین و کاتچین) شناسایی شد. تشخیص آرایه دیود (DAD) برای انجام یک اسکن طیغی از قله‌های HPLC از ۲۵۴ تا ۳۶۰ نانومتر استفاده شد. تمام عملیات کروماتوگرافی در دمای محیط و در سه تکرار انجام شد. خطی بودن روش با استفاده از پنج غلظت نارینجین (از ۱۰ تا ۵۰ میلی‌گرم در لیتر) که در سه تکرار مورد ارزیابی قرار گرفت، ایجاد شد. منحنی کالیبراسیون برای نارینجین با استفاده از یک معادله خطی $Y = 1.515X + 10.517$ ، $R^2 = 0.9958$ ، که در آن X غلظت نارینجین و Y ارتفاع اوج است، مدل‌سازی شد.

جدول ۱. برنامه گردایان حلال HPLC

حجم آن با استفاده از مخلوط اتانول-آب (V/V: ۳۰:۷۰) به ۱۰۰ میلی‌لیتر تنظیم شد.

۲.۲. تأثیر pH بر فرآیند جذب فلاونوئیدها

۱۵ میلی گرم از MWCNT-COOH خریداری شده با ۱۰ میلی‌لیتر عصاره پوست گریپ فروت توسط یک همزن معناطیسی مخلوط شد. PH با استفاده از اسید نیتریک یا هیدروکسید سدیم، بسته به تیمار، به مقدار متفاوتی (۳، ۵، ۷ یا ۹) تنظیم شد. پس از مخلوط کردن نمونه به مدت یک ساعت، فلاونوئیدهای MWCNT-COOH توسط سانتریفیوز (Centrifuge 220 CF، ۲۵۰۰ دور در دقیقه) (Domel) جدا شدند. آزمایش‌ها در سه تکرار انجام شد. درصد فلاونوئیدهای جذب شده به نانولوله‌های کربنی با اندازه گیری جذب محلول در طول موج‌های ۲۶۰ و ۲۸۰ نانومتر (به ترتیب لامبدا ماکس روتین و نارینجین) با استفاده از طیف سنج مرئی UV 7310 (Jenway، Jenway 7310) (جنوبی) محاسبه شد.

$$\%A = \frac{A_I - A_F}{A_I} \times 100 \quad (1)$$

جایی که %A، A_I و A_F به ترتیب درصد جذب فلاونوئیدها، جذب اولیه و جذب نهایی هستند.

۲.۳. دفع فلاونوئیدها-MWCNT-COOH

کمپلکس‌های MWCNT-COOH فلاونوئیدهای حاصل از عصاره در ۱۰ میلی‌لیتر محلول اتانول-آب (V/V: ۳۰:۷۰) پراکنده شدند تا تعادل بین دو فاز حفظ شود و از هرگونه جدول ۱. برنامه گردایان حلال

زمان(دقیقه)	فاز متحرک-A(متانول)	فاز متحرک-B (۱٪ درصد استیک اسید)
00:00	15	85
04:00	30	70
08:00	45	55
12:00	65	35
16:00	45	55
20:00	30	70
24:00	15	85

طیف‌سنجی فروسرخ تبدیل فوریه (FTIR) گروه‌های عاملی موجود بر روی جاذب را شناسایی می‌کند. این تجزیه و تحلیل گروه عملکردی به درک مکانیسم جذب کمک می‌کند که فرآیند جذب فلاونوئیدها را ارتقا می‌دهد. طیف FTIR نمونه‌های MWCNT-COOH با استفاده FTIR (Thermo Nicolet Nexus 870, Triad Scientific, Waltham, Massachusetts) با تکنیک گلوله KBr در محدوده طول موج ۴۰۰۰ تا ۶۵۰ سانتی‌متر-۱ با پسح ۰.۵ سانتی‌متر مشخص شد.

۲.۶ آنالیز حرارتی

اطلاعات مربوط به حضور گروه‌های عاملی سطح روی نانولوله‌های کربنی با اندازه‌گیری تغییر جرم آن‌ها هنگامی که ۵ میلی‌گرم از نمونه‌ها تا دمای ۱۰۰۰ درجه سانتی‌گراد با سرعت ثابت (۱۰ درجه سانتی‌گراد در دقیقه-۱) با پسح ۰.۱ میکروگرم حرارت داده شدند، به دست آمد. یک ابزار تجزیه و تحلیل حرارتی (TGA) (Netzsch TG 209 F1 Iris1, Selb, آلمان) تحت یک جو گاز نیتروژن. این روش مبتنی بر این واقعیت است که گروه‌های سطحی در دمای پایین‌تری نسبت به نانولوله‌های کربنی تجزیه حرارتی می‌شوند.

۲.۷ تجزیه و تحلیل FESEM

مورفلوژی نمونه‌ها توسط میکروسکوپ الکترونی روبشی FESEM میدانی (MIRA3\TESCAN-XMU) مدل، TESCAN، جمهوری چک) مورد بررسی قرار گرفت. این روش مشخصه اندازه و شکل نانوذرات را نشان می‌دهد. قلی از تجزیه و تحلیل، هر نمونه با کندوپاش با طلا پوشانده شد و بزرگنمایی ۲۰۰× برای تصاویر تحت ولتاژ شتاب دهنده ۵ کیلو ولت بود.

۲.۸ تاثیر pH بر جذب فلاونوئیدها

پروتکل تجربی مورد استفاده برای تعیین تاثیر pH بر جذب فلاونوئید به صورت شماتیک در شکل a۲ نشان داده شده

۲.۹ آزمایشات جذب دسته ای نارینجین

نارینجین یکی از فلاونوئیدهای اصلی پوست گریپ فروت بود. این ماده به عنوان شاخصی برای دستیابی به داشن عملی تر از فرآیند جذب فلاونوئیدها استفاده شده است. یک سری محلول ۱۰ میلی لیتری اتانول/آب حاوی ۱۰۰ میلی‌گرم در لیتر نارینگین و مقادیر مختلف (۳-۹) pH بود. سپس ۵۰ میلی‌گرم MWCNT-COOH به هر یک از این محلول‌ها اضافه شد. سپس کسری از نارینگین که به نانولوله‌های کربنی جذب می‌شود با اندازه‌گیری غلظت قبل و بعد از افزودن آنها تعیین شد. علاوه بر این، ایزوترم‌های جذب با تهیه محلول‌های ۱۰ میلی لیتری حاوی طیف وسیعی از غلظت‌های نارینگین (۱۰۰-۱۰۰۰ میلی‌گرم در لیتر) اما غلظت ثابت MWCNT-COOH (5000 میلی‌گرم در لیتر) و سپس هم زدن به مدت ۹۰ دقیقه ایجاد شد. سپس کسری از نارینگین حذف شده از محلول‌ها به دلیل جذب به نانولوله‌های کربنی با اندازه‌گیری جذب کلیدها با استفاده از یک طیف‌سنج UV در طول موج‌های ۲۶۰ و ۲۸۰ نانومتر تعیین شد(۲۱).

$$\text{Removal \%} = \frac{C_I - C_F}{C_0} \times 100\% \quad (2)$$

$$q_S = \frac{(C_I - C_F) \times V}{m} \quad (3)$$

در اینجا، C_I و C_F غلظت اولیه و نهایی ($\text{mg} \cdot \text{L}^{-1}$) نارینژین در محلول آبی است که توسط طیف‌سنجی مرئی UV تعیین می‌شود. به ترتیب، (V) حجم محلول نارینگین، (m) وزن جاذب، و q_S توانایی جذب ($\text{mg} \cdot \text{g}^{-1}$) است. بررسی‌های سیتیکی نیز با اندازه‌گیری تغییر انجام شد. جذب نارینجین در طول زمان مطالعات جنبشی با اندازه‌گیری جذب محلول‌ها پس از جداسازی MWCNT-COOH به دست آمد. تمام آزمایشات در دمای محیط (۱۵±۲۵ درجه سانتی‌گراد) انجام شد.

۲.۱۰ تجزیه و تحلیل FTIR

ثابت ایزوترم D-R، ϵ پتانسیل پولانی است، R ثابت گاز (K) کیلوژول (mol. K⁻¹) و (K) دمای مطلق (K) است. میانگین انرژی آزاد، (E) (kJ.mol⁻¹) جذب را می توان با استفاده از رابطه زیر محاسبه کرد(۲۴):

$$E = \frac{1}{\sqrt{2K_{DR}}} \quad (6)$$

۳. نتیجه و بحث

۳.۱. خصوصیات نانولوله های کربنی

طیف FTIR MWCNT-COOH در ۱۷۲۲، ۳۴۲۷، ۱۶۲۶ cm⁻¹ به اوج رسیده بود (شکل a)، که می تواند به ترتیب به ارتعاشات کششی C=O، OH، C=C و C-O نسبت داده شود. این گروه های عاملی با گروه های کربوکسیل روی نانولوله های کربنی سازگار هستند.

است. پس از جداسازی از نانولوله های کربنی، اسپکتروفوتومتری مرئی UV و آنالیز وزنی، غلظت فلاونوئید های غیر جذب را در فاز آبی اندازه گیری کردند.

۲.۹. ایزوترم های جذب

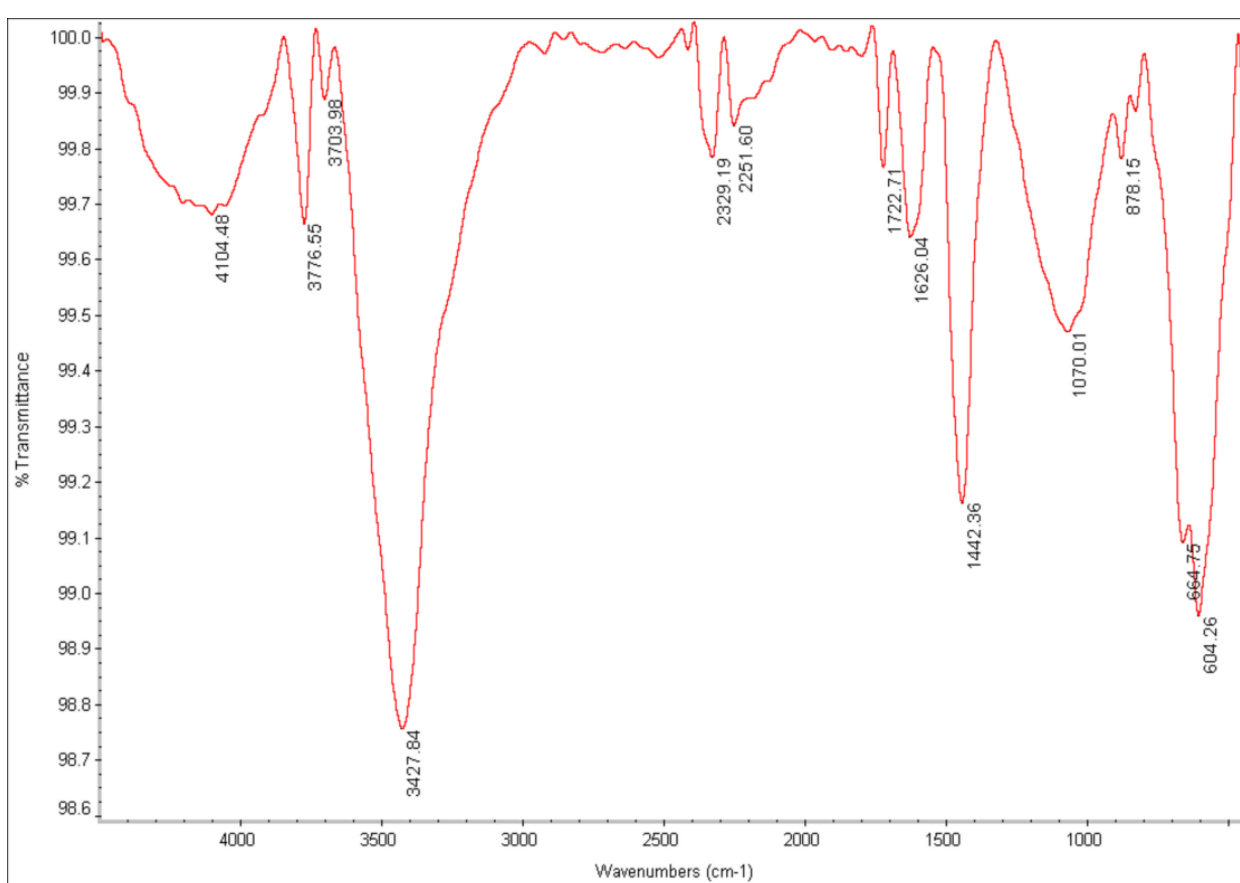
ایزوترم D-R (Dubinin-Radushkevich) فرض می کند که مکان های اتصال روی سطوح جاذب ناهمگن هستند و اتصال با توزیع انرژی گاووسیان اتفاق می افتد(۲۲، ۲۳).

معادلات زیر مدل D-R را توصیف می کند:

$$\ln(q_e) = \ln q_m - K_{DR} \varepsilon^2 \quad (4)$$

$$\varepsilon = RT \ln \left(1 + \frac{1}{C_e} \right) \quad (5)$$

در اینجا، (qe) mg.g⁻¹ مقدار نارینگین جذب شده، DR (mol². kJ²) حداکثر مقدار جذب نارینجین، mg.g⁻¹

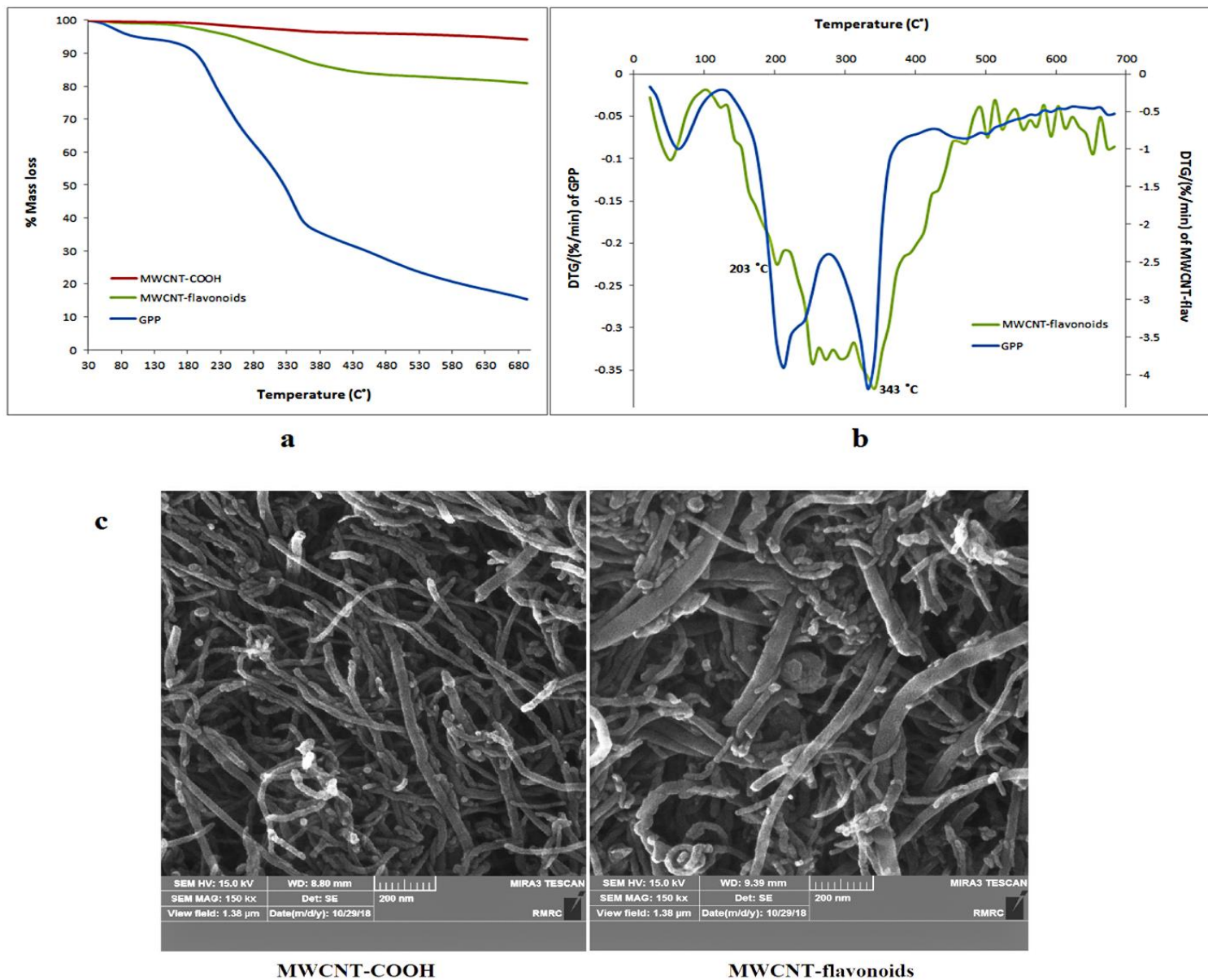


شکل a. طیف FT-IR (پس از اصلاح خط پایه) MWCNT-COOH

در نمودار های DTG برای مجتمع های MWCNT-COOH-فلاؤنوئید مشاهده شد، که مشابه موارد مشاهده شده برای نمونه های GPP بود، دوباره نشان می دهد که از دست دادن جرم از مجتمع ها به دلیل تجزیه حرارتی است. فلاؤنوئید ها این نتایج نشان می دهد که اطلاعات ارزشمندی در مورد جذب فلاؤنوئید ها به جاذب های MWCNT-COOH را می توان از داده های DTG و TGA دست آورده.

تصاویر میکروسکوپ الکترونی رویشی از ریز ساختار نanolوله های کربنی قبل و بعد از جذب فلاؤنوئید به دست آمد (شکل ۱). این تصاویر نشان می دهند که هر دو نمونه شبکه ای از ساختارهای فیبر مانند درهم تنبیه و آگلومره را تشکیل می دهند. قطر الیاف در نمونه های MWCNT-COOH-فلاؤنوئید بیشتر از نمونه های MWCNT-COOH بود که با حضور لایه ای از فلاؤنوئید های جذب شده روی سطوح nanololle های کربنی مطابقت دارد.

تجزیه و تحلیل وزن سنجی حرارتی (TGA) و وزن سنجی حرارتی مشتق (DTG) اطلاعاتی در مورد اینکه آیا Nanololle های کربنی فلاؤنوئیدها را جذب می کنند یا خیر، ارائه کردند. همانطور که در شکل ۱ نشان داده شده است، تنها یک کاهش جزئی در جرم نمونه های MWCNT-COOH در طول گرمایش از ۳۰ تا ۶۸۰ درجه سانتیگراد وجود داشت که نشان دهنده پایداری حرارتی جامد Nanololle های کربنی بود. در مقابل، کاهش قابل توجهی در کمپلکس های MWCNT-COOH-فلاؤنوئید در طول گرمایش، با کاهش جرم ۱۸.۳ درصدی از حدود ۱۴۰ تا ۴۰۰ درجه سانتیگراد وجود داشت. این کاهش به تخرب حرارتی فلاؤنوئید های جذب شده به سطوح MWCNT اختصاص داده شد. این فرضیه بر اساس مشخصات کاهش جرم-دمای پودر پوست گریپ فروت (GPP) است که کاهش جرم را در محدوده دمایی مشابه مجتمع های MWCNT-COOH-فلاؤنوئید نشان می دهد. نمودار های DTG بینش هایی را در مورد محدوده دمایی که در آن تبخیر حرارتی خاص یا رویداد های تخرب در نمونه ها رخ می دهد ارائه کرد (شکل ۱). پیک های برجسته در حدود ۲۰۳ و ۳۴۳ درجه سانتیگراد

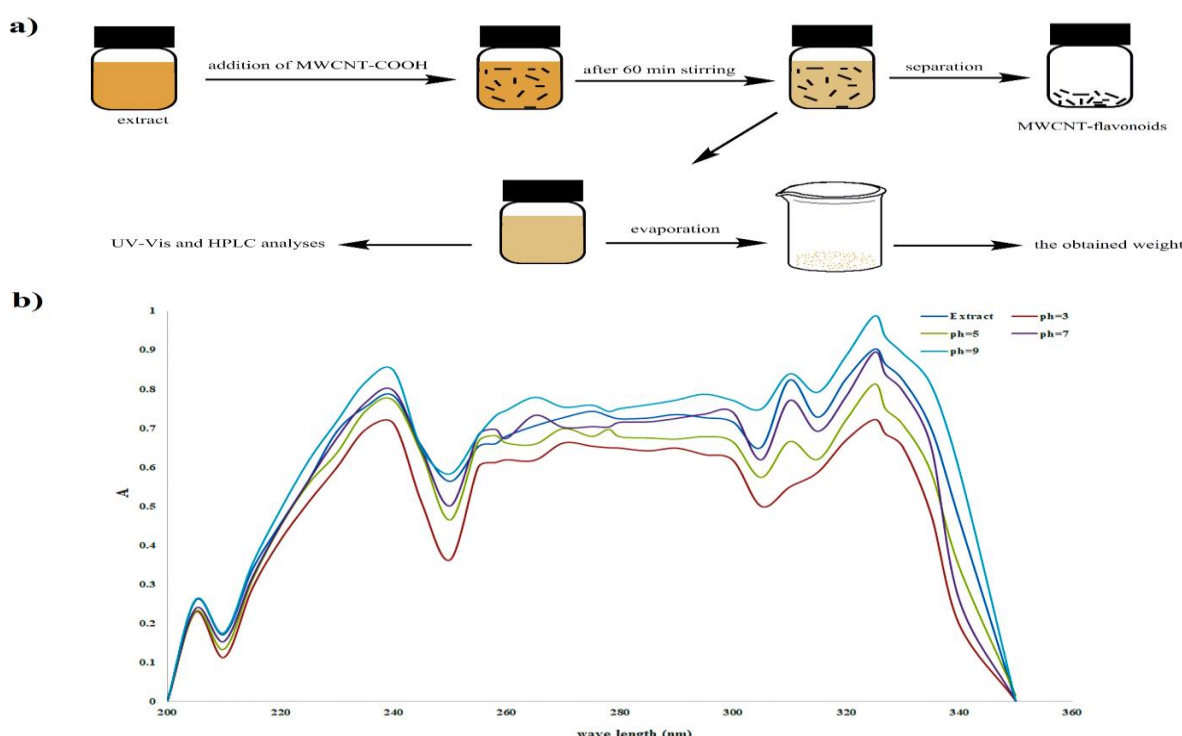


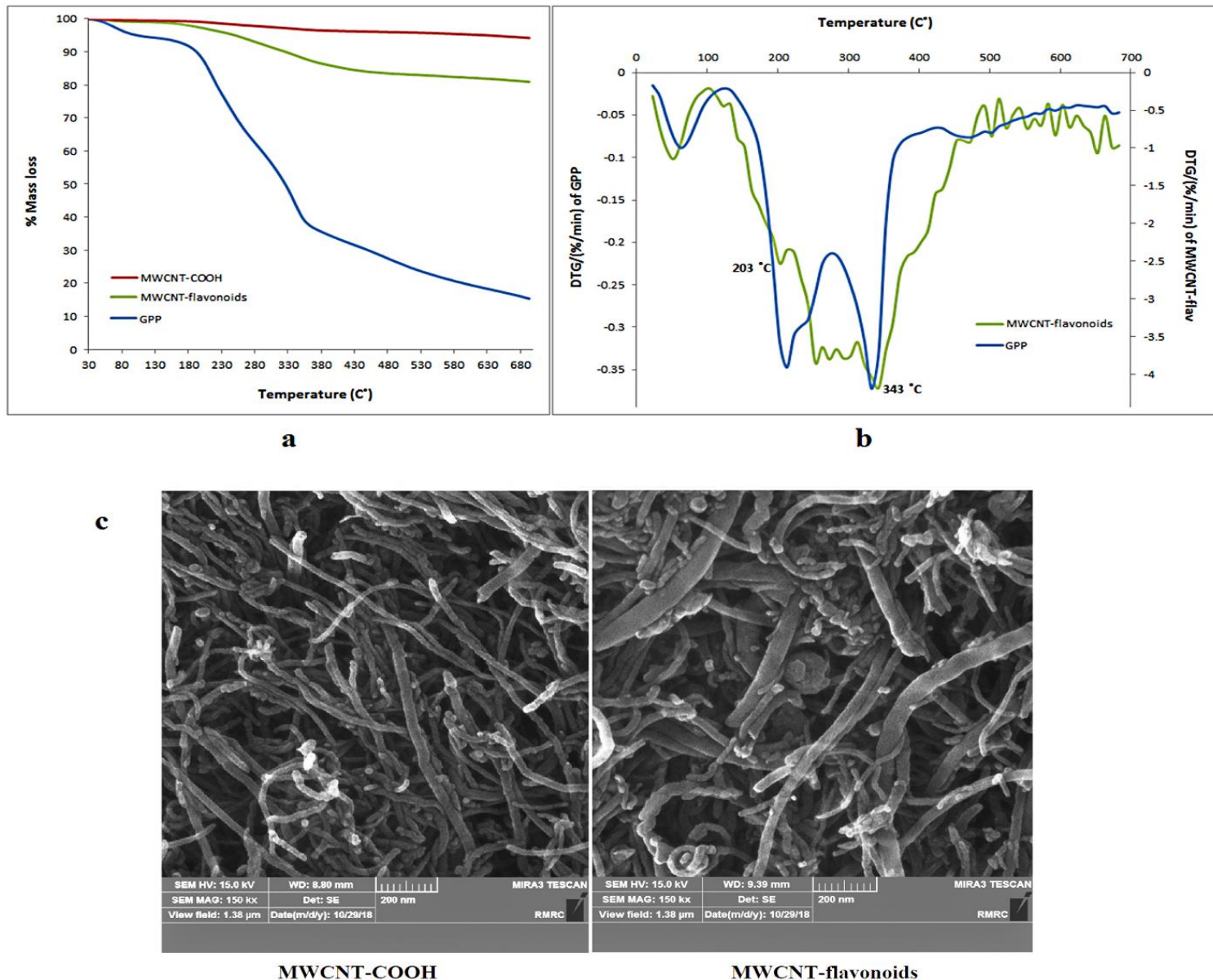
شکل ۱. a-b. TGA و SEM (پس از اصلاح خط پایه) MWCNT-COOH

۲. ۳. تاثیر pH بر جذب فلاؤنونئید ها

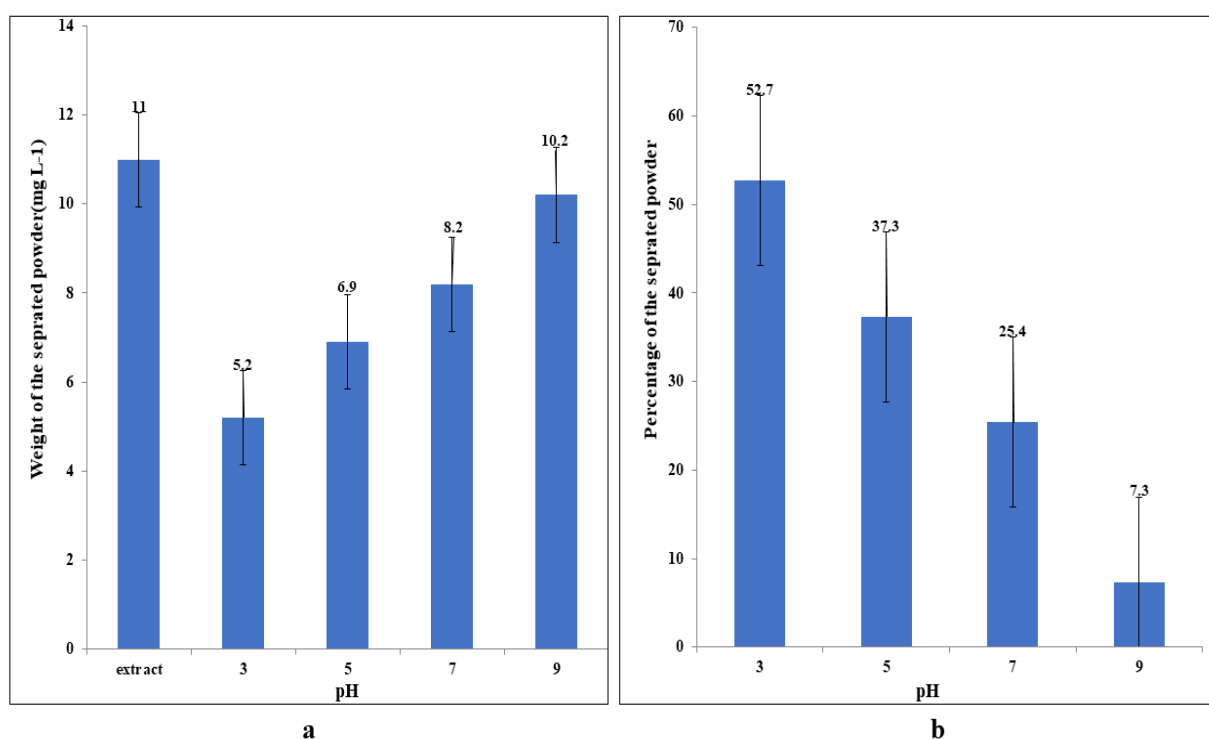
منجر به دافعه الکترواستاتیکی بین آنها و نanolوله های کربنی می شود و در نتیجه جذب آنها را کاهش می دهد. روش دیگر، دبروتونیشن از گروه های کربوکسیل در مقادیر pH بالا ممکن است تشکیل پیوند هیدروژنی بین فلاونوئیدها و MWCNT-COOH را مختل کند. آب موجود در محلول های عصاره پس از فرآیند جذب تبخیر شد تا تأثیر pH بر غلظت فلاونوئیدهای غیرجذب ارزیابی شود (شکل a^۲). جرم عصاره باقی مانده اندازه گیری شد (شکل a^۳) و درصد عصاره جذب شده به نanolوله های کربنی (شکل b^۳) بود. مطابق با اندازه گیری های مرئی UV، کسری از فلاونوئیدهایی که به نanolوله های کربنی جذب شده بودند با افزایش pH کاهش یافت. به طور کلی، این نتایج نشان می دهد که بهترین راه حل برای حذف فلاونوئیدها از کلیدها pH سه است که باعث افزایش جاذبه بین آنها و سطوح nanolوله های کربنی می شود.

شکل b^۲ طیف مرئی UV محلول های فلاونوئیدی غیرجذب را نشان می دهد که پس از انکوباسیون در مقادیر مختلف pH از مجتمع های pH-MWCNT-COOH- فلاونوئید جدا شده اند. جذب با کاهش مقدار pH افزایش می یابد، که نشان می دهد فلاونوئیدهای بیشتری در مقادیر pH پایین تر به سطوح MWCNT-COOH جذب می شوند (۲۵). درصد فلاونوئیدهای جذب شده در pH ۳ و ۹ به ترتیب ۴۳، ۳۲ و ۲۰ درصد محاسبه شد. این نتایج نشان دهنده جاذبه قوی تر بین فلاونوئیدها و نanolوله های کربنی در شرایط اسیدی نسبت به شرایط بازی است که ممکن است به دلیل تغییرات در یونیزاسیون گروه های باردار باشد. گروه های کربوکسیل روی نanolوله های کربنی در مقادیر pH بالا دارای بار منفی (-COO-) و در مقادیر pH پایین (COOH-) خشی هستند. در مقادیر pH بالا، گروه های هیدروکسیل موجود در فلاونوئیدها ممکن است مقداری بار منفی پیدا کنند که





شکل ۲-a-b. طیف مرئی UV محلول های فلاونوئید غیرجذب جدا شده از مجتمع های MWCNT-COOH-MWCNT-flavonoids را پس از انکوباسیون در مقداری مختلف pH نشان می دهد.

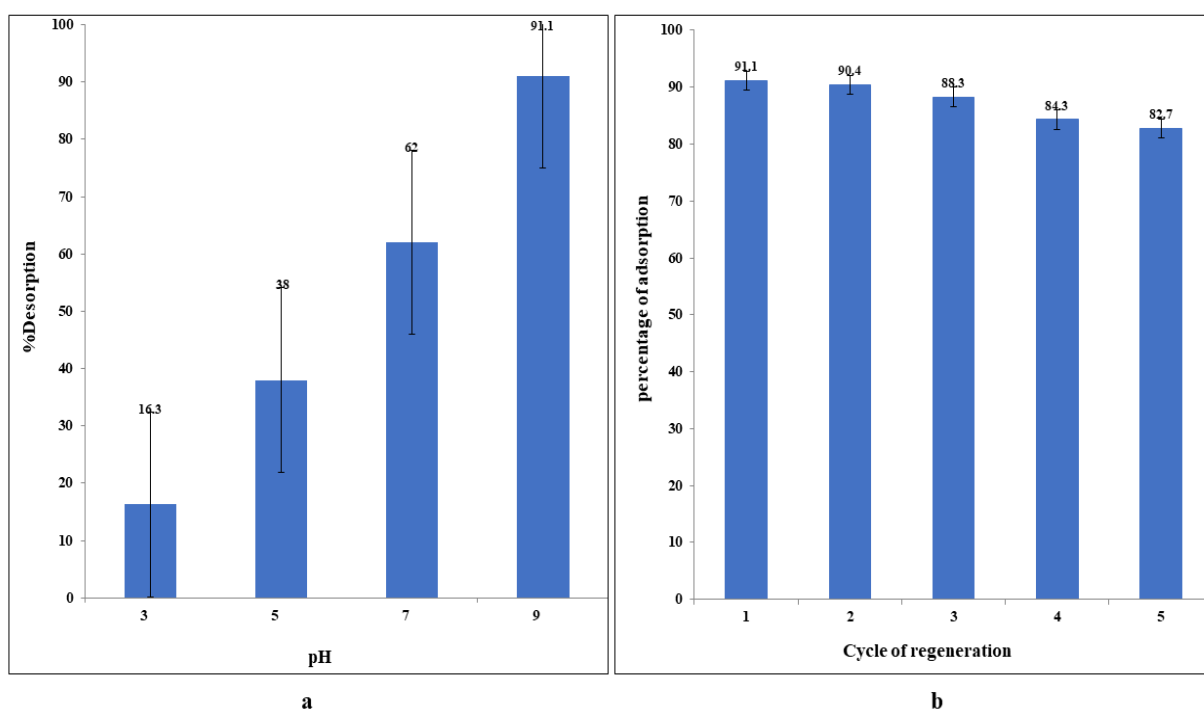


شکل ۳. a-b. درصد عصاره جذب شده به نانولوله های کربنی در pH متفاوت است.

مقدار (حدود ۹۱٪) در pH ۹ به دست آمد (شکل ۴). علاوه بر این، کارایی چرخه جذب - دفع نانولوله های MWCNT-کربنی مورد ارزیابی قرار گرفت. فلاونوئیدهای COOH را می توان چندین بار مورد استفاده قرار داد زیرا جذب فلاونوئیدها تنها پس از پنج چرخه حدود ۸٪ کاهش یافت (شکل ۴). این آزمایش ها پتانسیل استفاده از نانولوله های کربنی بارها برای جداسازی فلاونوئیدها از محلول ها را برجسته می کنند.

۳.۳. راندمان دفع فلاونوئیدها از مجتمع های MWCNT-فلاونوئید-COOH

هنگامی که فلاونوئیدها به جاذب جذب شدند، نشان داده می شود که می توان آنها را با موفقیت حذف کرد. بنابراین، تأثیر pH بر دفع فلاونوئیدها از کمپلکس های MWCNT-فلاونوئید مورد ارزیابی قرار گرفت (شکل ۴). دفع فلاونوئیدها با افزایش pH افزایش یافت و بالاترین



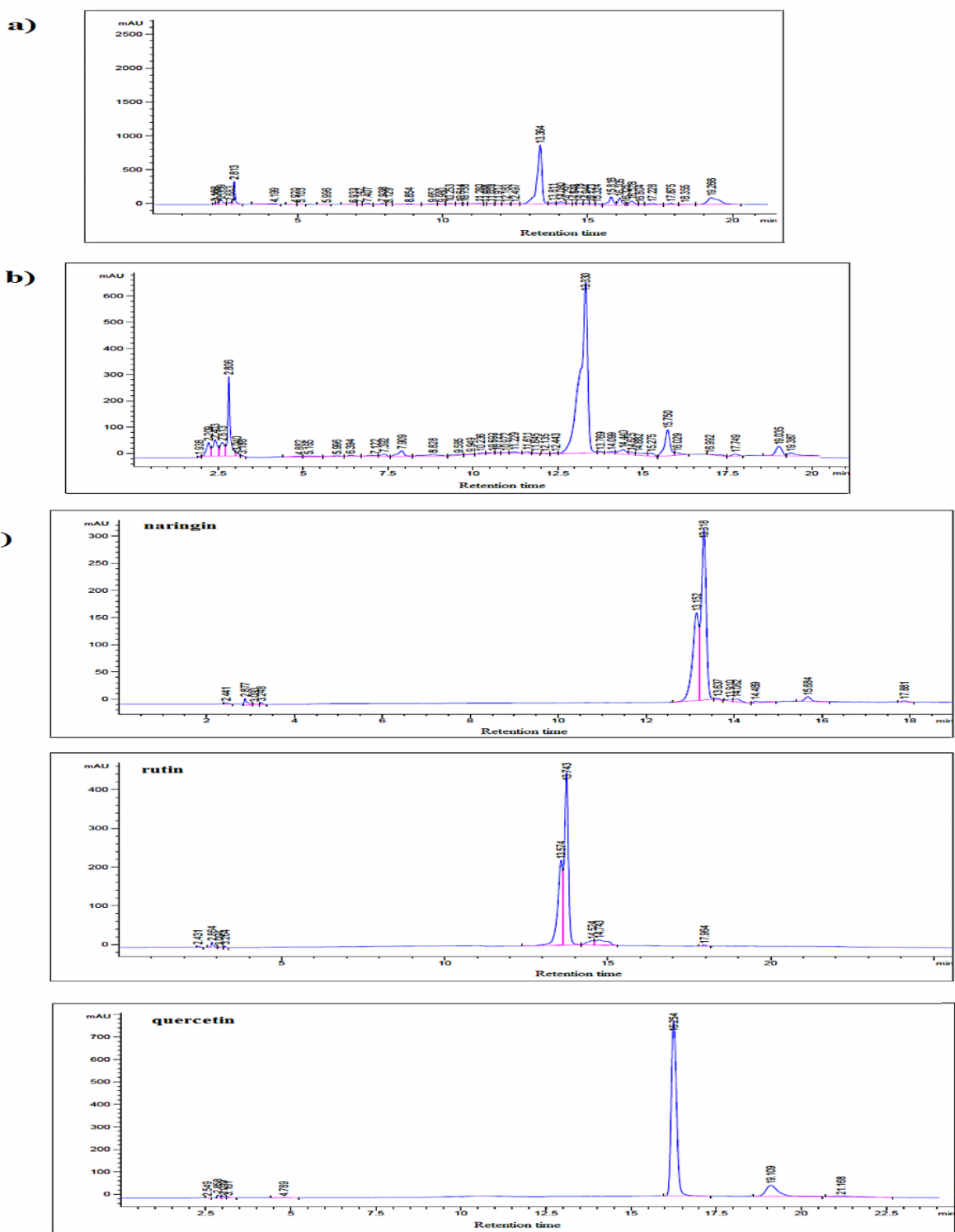
شکل ۴ a-b. راندمان دفع فلاونوئیدها از مجتمع های MWCNT-COOH-فلاونوئید

مطالعات بیشتری برای ارائه بیشتر در مورد مکانیسم جذب این فلاونوئید انجام شد.

۴.۳. تاثیر نوع فلاونوئید بر جذب

از آنالیز HPLC برای تعیین نوع فلاونوئیدهای استخراج شده از محلول های عصاره گریپ فروت با استفاده از نانولوله های کربنی استفاده شد (شکل ۵). کروماتوگرام های به دست آمده سه فلاونوئید اصلی را در پودر عصاره اولیه گریپ فروت نشان می دهند: نارینجین، کوئرستین و روتنین، که نارینجین غالب است (شکل a⁵). این فلاونوئید ها همچنین در کروماتوگرافی مواد جدا شده از عصاره گریپ فروت حل شده با استفاده از نانولوله های کربنی مشاهده شدند (شکل b⁵).

هویت فلاونوئیدهای مختلف با اجرای استاندارد های حاوی نارینجین، روتنین و کوئرستین تعیین شد (شکل ۵). نانولوله های کربنی محاسبه شده درصد نارینجین، کوئرستین و روتنین استخراج شده از پودر عصاره گریپ فروت به ترتیب حدود ۴۹، ۷۸ و ۹۰ درصد بود. از آنجایی که نارینجین ماده اصلی در عصاره گریپ فروت بود،



شکل ۵. تجزیه و تحلیل HPLC برای تعیین نوع فلاونوئیدهای استخراج شده از محلول های عصاره گریپ فروت با استفاده از نانولوله های کربنی استفاده شد.

حالیت فلاونوئید ها با کاهش pH را نشان داده است که ممکن است در این اثر نیز نقش داشته باشد. ما از pH ۳ برای مطالعات جذب در بقیه آزمایش ها استفاده کردیم زیرا بیشترین میزان جذب رخ داده است.

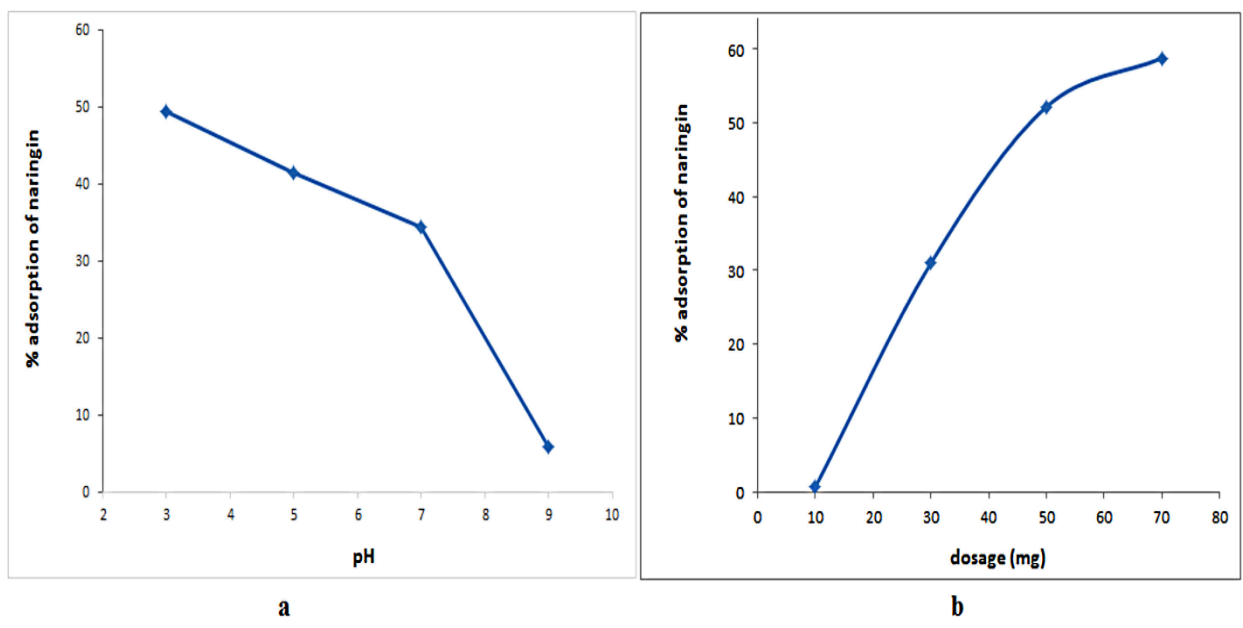
۳.۵.۲. تاثیر دوز نانولوله کربنی

در این سری از آزمایش ها، ما تأثیر جرم نانولوله کربنی را بر بازده استخراج نارینجین بررسی کردیم (شکل b۶). درصد جذب نارینجین توسط نانولوله های کربنی با افزایش دوز، از حدود ۷.۰ درصد به ۶۶ درصد، زمانی که غلظت MWCNT-COOH از ۰.۰۱ به ۰.۱ گرم افزایش یافت، افزایش یافت. این افزایش را می توان به سایت های سطحی در دسترس تر روی نانولوله های کربنی در غلظت های بالاتر نسبت داد.

۳.۵. ویژگی های جذب نارینگین

pH ۳.۵.۱. تاثیر

در این سری از آزمایش ها، تاثیر pH بر ظرفیت جذب نانولوله های کربنی (MWCNT-COOH) اندازه گیری شد (شکل a۶). همانند کل فلاونوئید ها، کاهشی در کسر جذب شده با افزایش pH وجود داشت که می توان آن را به تضعیف برهمکنش های جذاب بین نارینجین و سطوح نانولوله های کربنی با مقادیر pH بالاتر نسبت داد. همانطور که قبل ذکر شد، ممکن است یک دافعه الکترواستاتیکی بین گروه های کربوکسیل آنیونی روی نانولوله های کربنی و فلاونوئید ها در مقادیر pH بالاتر وجود داشته باشد که با جذب مخالف است. مطالعات قبلی همچنین کاهش



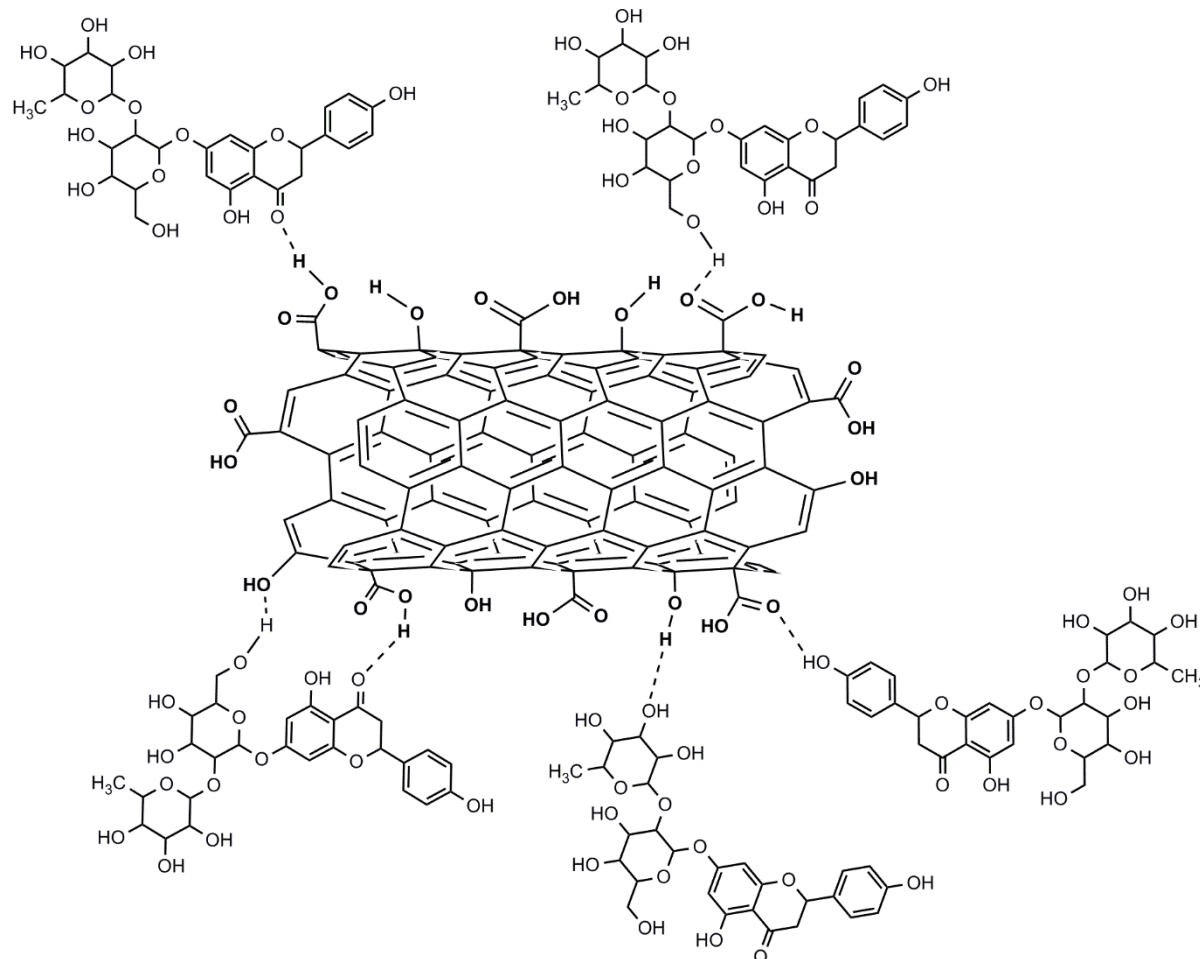
شکل ۶ a-b: تاثیر pH و دوز بر کارایی استخراج نارینگین بر ظرفیت جذب نانولوله های کربنی (MWCNT-COOH)

یک نمودار شماتیک از دو مکانیسم اصلی که مسئول جذب نارینجین به نانولوله های کربنی هستند در شکل ۷ نشان داده شده است. دوم، احتمالاً برهمکنش های $\pi-\pi$ بین

۳.۶. مکانیسم جذب نارینگین پیشنهادی توسط نانولوله های کربنی

این برهمکنش‌ها را مختلط کرده باشد و منجر به جذب ضعیف‌تر مشاهده شده در شرایط خشی و قلیایی شود.

پیوندهای دوگانه در نارینجین و MWCNT-COOH وجود دارد. پروتون زدایی گروه‌های کربوکسیلیک اسید روی سطوح نانولله‌های کربنی در مقادیر pH بالا ممکن است



شکل ۷. نمودار شماتیک دو مکانیسم اصلی مسئول جذب نارینجین به نانولله‌های کربنی

صورت چند لایه جذب شده باشد. مطابق جدول ۲، مقدار E ۰.۲۱۹ کیلوژول بر مول بود که نشان می‌دهد جذب نارینجین به MWCNT-COOH ناشی از فعل و افعال فیزیکی (و نه شیمیایی) است زیرا انرژی آزاد زیر ۸ کیلوژول بر مول به عنوان جذب فیزیکی در نظر گرفته می‌شود(۱۴).

جدول ۲. پارامترهای مدل‌های شبه مرتبه اول، شبه مرتبه دوم، الیویچ و نفوذ درون ذره‌ای جذب نارینجین بر روی MWCNTs-COOH. دما، ۲۹۸ K؛ غلظت اولیه نارینجین ۵۰ میلی گرم در لیتر. جرم MWCNT ها، ۵۰ میلی گرم. حجم محلول، ۱۰ میلی لیتر؛ و pH محلول نمونه، ۳۰.

۳.۷. ایزووترم‌های جذب

بینش‌های بیشتر در مورد مکانیسم جذب نارینگین با برآذش سه مدل ایزووترم جذب به داده‌های تجربی به دست آمد: مدل‌های لانگمویر، فرونالیچ و دوبینین-رادوشکویچ (جدول ۲). ایزووترم جذب لانگمویر فرض می‌کند که هر محل اتصال دارای پوشش تک لایه یکسانی از سطح جاذب است(۲۰). مدل فرونالیچ سطوح ناهمگن و جذب چند لایه را به حساب می‌آورد(۲۱). بر اساس ضریب همبستگی، مدل فرونالیچ بهترین مدل ایزووترم برای توصیف جذب نارینجین به نانولله‌های کربنی بود (جدول ۲). این نتیجه نشان می‌دهد که نارینجین ممکن است به

مدل های ستیکی	پارامترها	
شبه مرتبه ای اول	$k_1(\text{min}^{-1})$	11.77
	$q_e(\text{mg/g})$	58.25
	R^2	0.8039
شبه مرتبه ای و م	$K_2(\text{g mg}^{-1}\text{min}^{-1})$	0.0744
	$q_e(\text{mg/g})$	4.79
	R^2	0.9985
الوویج	a	4.1×10^4
	b	3.593
	R^2	0.9514
نفوذ درون ذره ای	$K_{id}(\text{mg g}^{-1} \text{min}^{-0.5})$	0.1021
	R^2	0.9147

مدل های ایزووترم	پارامترهای محاسبه شده			نقاط
لنگمویر	$q_m(\text{mg/g})$	$b(\text{L/mg})$	R^2	
$\frac{C_e}{q_e} = \frac{1}{b q_m} + \frac{C_e}{q_m}$	66.23	0.0030	0.4078	$\frac{C_e}{q_e}$ vs. C_e
$\ln q_e = \ln K_f + \frac{1}{n} \ln C_e$	$K_f(\text{mg/g})(\text{mg/L})^n$	n	R^2	$\ln q_e$ vs. $\ln C_e$
	0.21732	1.049	0.9920	
هالسی	K_H	n_H	R^2	$\ln q_e$ vs. $\ln 1/C_e$
$\ln q_e = \frac{1}{n_H} \ln K_H - \frac{1}{n_H} \ln \frac{1}{C_e}$	1.11×10^{-7}	1.049	0.9920	
تمپکین	$K_1(\text{L/g})$	K_2	R^2	q_e vs. $\ln C_e$
$q_e = K_1 \ln K_2 + K_1 \ln C_e$	3.5046	0.2066	0.9315	
هارکینز-جورا	A_{HJ}	B_{HJ}	R^2	$1/q_e^2$ vs. $\log C_e$
$\frac{1}{q_e^2} = \frac{B_{HJ}}{A_{HJ}} - \frac{1}{A_{HJ}} \log C_e$	1.0345	1.5919	0.7807	
دوینین-رادوشکوویچ	$q_m (\text{mg/g})$	K_{DR}	R^2	$\ln q_e$ vs. ε^2
	6.729	10.41	0.8648	
$\ln(q_e) = \ln q_m - K_{DR} \varepsilon^2$			0.219	

کربنی: ۵۰ میلی گرم زمان تماس: ۹۰ دقیقه. در هر دو مورد، راندمان جذب حدود ۴۹ درصد بود که نشان می دهد نتایج به دست آمده برای محلول های مدل باید برای عصاره پوست گریپ فروت نیز اعمال شود (جدول ۳).

جدول ۳. پارامترهای مدل های ایزووترم مختلف برای جذب نارینجین از محلول های آبی توسط MWCNT-COOH

۳.۸. کارایی جذب نارینجین از محلول مدل و عصاره گریپ فروت

در این آزمایش ها، کارایی جذب نارینجین را بر روی نانولوله های کربنی (MWCNT-COOH) از محلول مدل (۵۰ ppm نارینجین) و از محلول حاوی عصاره پوست گریپ فروت (۲۰.۸۵ ppm نارینجین) در شرایط مشابه (حجم محلول: ۱۰) مقایسه کردیم. میلی لیتر، دوز نانولوله

۴. نتیجه گیری

بیانیه های اعلامیه

تایید اخلاقی

این دست نوشته استفاده از هیچ گونه داده یا بافت حیوانی یا انسانی را گزارش نمی کند.

منافع رقابتی

نویسنده‌گان هیچ منافع مالی یا غیر مالی مرتبطی برای افشا ندارند.

منابع مالی

هیچ بودجه‌ای برای کمک به تهیه این نسخه دریافت نشد.

نانولوله‌های کربنی کربوکسیله (MWCNT-COOH) برای جداسازی فلاونوئیدها از عصاره پوست گریپ فروت مناسب بودند. جذب فلاونوئیدها بر روی نانولوله‌های کربنی در شرایط اسیدی بیشتر بود که عمدتاً به افزایش پیوند هیدروژنی و کاهش دافعه الکترواستاتیک نسبت داده می شود. بر عکس، دفع فلاونوئیدها از نانولوله‌های کربنی در شرایط قلیایی به دلیل تضعیف برهمنکنش‌های جذاب بیشتر بود. نشان داده شد که نانولوله‌های کربنی قابلیت استفاده مجدد خوبی دارند، با راندمان جذب/واجدب پس از پنج چرخه ۸۳ درصد. بنابراین، نانولوله‌های کربنی ممکن است برای ساخت فیلترهایی برای جداسازی اجزای زیست فعال ارزشمند از جریان‌های ضایعات غذایی مفید باشند.

۵- منابع

- [1] Cirmi S, Navarra M, Woodside JV, Cantwell MM (2018) Citrus fruits intake and oral cancer risk: A systematic review and meta-analysis. *Pharmacol Res* 133:187–194.
- [2] Rafiq S, Rajkumari K, Sofi SA, Bashir N, Nazir F, Ahmad-Nayak G (2018) G. Citrus peel as a source of functional ingredient: A review. *J Saudi Soc Agric Sci.* 17, 351-358.
- [3] Manthey JA, Grohmann K (2001) Phenols in Citrus Peel Byproducts. Concentrations of Hydroxycinnamates and Polymethoxylated Flavones in Citrus Peel Molasses. *J Agric Food Chem* 49, 3268-3273.
- [4] Zhang L, Tu ZC, Xie X, Wang H, Wang ZX, Sha XM, Lu Y (2017) Jackfruit (*Artocarpus heterophyllus* Lam.) peel: A better source of antioxidants and α-glucosidase inhibitors than pulp, flake and seed, and phytochemical profile by HPLC-QTOF-MS/MS. *Food Chem* 234, 303-313.
- [5] Cristóbal-Luna JM, Álvarez-González I, Madrigal-Bujaidar E, Chamorro-Cevallos G (2018) Grapefruit and its biomedical, antigenotoxic and chemopreventive properties. *Food Chem Toxicol* 19: 432–438.
- [6] Isabel A, Ribeiro Maria H, Ribeiro L (2008) Naringin and naringenin determination and control in grapefruit juice by a validated HPLC method. *Food Control* 19, 432-438.
- [7] Lavrador P, Aspar GVM, Mano JF (2018) Bioinspired bone therapies using naringin: applications and advances. *Drug Discov Today* 23, 1293-1304.
- [8] Viswanatha GL, Shylaja H, Moolemath Y (2017) The beneficial role of Naringin a citrus bioflavonoid, against oxidative stress-induced neurobehavioral disorders and cognitive dysfunction in rodents: A systematic review and meta-analysis. *Biomed Pharmacother* 94, 909–929
- [9] MaiX, Liu Y, Tang X, Wang L, Lin Y, Zeng H, Luo L, Fan H, Li P (2020) Sequential extraction and enrichment of flavonoids from Euonymus alatus by ultrasonic-assisted polyethylene

- glycol-based extraction coupled to temperature-induced cloud point extraction. Ultrason Sonochem 66, 105073.
- [10] Ming-ZhuaG, Qi C, Li-Tao W, Yao M, LianY, Yan-Yan L, Yu-Jie F (2020) A green and integrated strategy for enhanced phenolic compounds extraction from mulberry (*Morus alba* L.) leaves by deep eutectic solvent. Microchem J 154, 104598.
- [11] Hamed YS, Abdin M, Akhtar HMS, Chen D, Wan P, Chen G, Zeng X (2019) A method for the extraction of chlorophyll from leaf tissue without maceration. S Afr J Bot 124, 1332-1334.
- [12] Yang YC, Wang CS, Wei MC (2019) Kinetics and mass transfer considerations for an ultrasound-assisted supercritical CO₂ procedure to produce extracts enriched in flavonoids from *Scutellariabarbata*. J CO₂ Util 32, 219-231.
- [13] Azizian J, Chobfrosh Khoei D, Tahermansouri H, Yadollahzadeh KH (2011) Functionalization of carboxylated multi-walled carbon nanotubes with 1, 4-phenylenediamine, phenylisocyanate and phenylisothiocyanate. Fullerenes, Nanotubes and Carbon Nanostructures 19(8), 753-760.
- [14] Gholizadeh H, Ghorbani-HasanSaraei A, Tahermansouri H, Shahidi S-A (2020) The mechanism studies of the adsorption-desorption process of rutin from water/ethanol solution and the extract of bitter orange peel by the carboxylated multiwalled carbon nanotubes. JCCS 67(4), 546-557.
- [15] Gholizadeh H, Ghorbani-HasanSaraei A, Tahermansouri H, Shahidi S-A (2019) The simultaneous adsorption and desorption of flavonoids from bitter orange peel by the carboxylated multi-walled carbon nanotubes. Carbon Lett 29, 273-279.
- [16] Alothman ZA, Bahkali AH, Khiyami MA, Alfadul SM, Wabaidur SM, Alam M, Alfarhan BZ (2020) Low-cost biosorbents from fungi for heavy metals removal from wastewater. Sep Sci Technol 55(10), 1766-1775.
- [17] Azzouz A, Kailasa SK, Lee SS, Rascón AJ, Ballesteros E, Zhang M, Kim KH (2018) Review of nanomaterials as sorbents in solid-phase extraction for environmental samples. Trends Analyt Chem 108, 347-369.
- [18] Ali I, Alharbic OML, ALOthman ZA, Al-Mohaimeedd AM, Alwarthan A (2019) Modeling of fenuron pesticide adsorption on CNTs for mechanistic insight and removal in water. Environ. Res 170, 389-397.
- [19] Naushad M, Sharma G, Alothman ZA (2019) Photodegradation of toxic dye using Gum Arabic-crosslinked-poly(acrylamide)/Ni(OH)₂/FeOOH nanocomposites hydrogel. J. Clean. Prod. 241, 118263.
- [20] Khan MA, Alqadami AA, Wabaidur SM, Siddiqui MR, Jeonb BH, Alshareef SA, Alothman ZA, Hamedelniel AE (2020) Oil industry waste based non-magnetic and magnetic hydrochar to sequester potentially toxic post-transition metal ions from water. J. Hazard. Mater. 400, 123247.
- [21] Kenawy E-R, Ghfar AA, Wabaidur SM, Khan MA, Siddiqui MR, Alothman ZA, Alqadami AA, Hamid M (2018) Cetyltrimethylammonium bromide intercalated and branched polyhydroxy styrene functionalized montmorillonite clay to sequester cationic dyes. J. Environ. Manage. 219, 285-293.
- [22] Ibrahim SM, Badawy AA, Essawy HA (2019) Improvement of dyes removal from aqueous solution by Nanosized cobalt ferrite treated with humic acid during coprecipitation. J Nanostruct Chem 9: 281-298.
- [23] Xiao DL, Li H, He H, Lin R, Zuo PI (2014) Adsorption performance of carboxylated multi-wall carbon nanotube-Fe₃O₄ magnetic hybrids for Cu (II) in water. New Carbon Mater. 29: 15-25.

- [24] Hobson JP (1969) The role of surface heterogeneity. *J Phys Chem* 73: 2720-2727.
- [25] Tahermansouri H, Dehghan Z, Kiani F (2015) Phenol adsorption from aqueous solutions by functionalized multiwalled carbon nanotubes with a pyrazoline derivative in the presence of ultrasound. *R. Soc. Chem.* 55, 44263-44273.



Application of multi-walled carbon nanotubes as sorbents for the extraction of flavonoids from Grapefruit peel

Hassan Gholizadeh^{*a}, David Julian McClements^b, Hasan Tahermansouri^c, Vijay Jayasena^d, Ahmad Shahidi^a

a-Department of Food Science and Technology, Ayatollah Amoli Branch, Islamic Azad University, Amol, Mazandaran, Iran

b- Department of Food Science, University of Massachusetts, Amherst, MA 01003

c-Department of Chemistry, Ayatollah Amoli Branch, Islamic Azad University, Amol, Mazandaran, Iran.

d- School of Public Health, Curtin Health Innovation Research Institute, Curtin University, GPO Box U1987, Perth 6845, Western Australia, Australia.

ARTICLE INFO

Article History:

Received:2024/3/7

Accepted:2024/4/15

Keywords:

grapefruit;
multi-walled carbon nanotubes;
flavonoids;
adsorption;
desorption;
food waste

DOI: [10.22034/fsct.21.152.146](https://doi.org/10.22034/fsct.21.152.146).

*Corresponding Author E-
hassangholizade@gmail.com

ABSTRACT

This study developed carboxylated multi-walled carbon nanotubes (MWCNTs-COOH) as sorbents to extract flavonoids from grapefruit peel. The impact of solution pH and desorption conditions on extraction efficiency was investigated. In addition, Fourier transforms infrared spectroscopy, thermogravimetry, UV-visible spectroscopy, and scanning electron microscopy were used to characterize the carbon nanotubes. After five cycles, the desorption percentage of flavonoids was 82.7 %. HPLC analysis indicated that naringin was the dominant flavonoid in the grapefruit extracts, followed by rutin and quercetin. Insights into the adsorption mechanism of naringin to the MWCNT-COOH were obtained using the Freundlich isotherm equation to model the results. The carbon nanotubes developed in this study offer a cost-effective and straightforward method of extracting value-added functional ingredients from food waste, thereby improving the sustainability and economic viability of the food supply.